

## *Estimation of Spatial Distribution of PM<sub>10</sub>, Lead, and Radon Concentrations in Sepahanshahr, Iran Using Geographic Information System (GIS)*

Hossin Farrokhzadeh<sup>1</sup>,  
Negar Jafari<sup>2</sup>,  
Mojtaba Sadeghi<sup>3</sup>,  
Maryam Talesh Alipour<sup>4</sup>,  
Mohammad Mehdi Amin<sup>5</sup>,  
Ali Abdollahnejad<sup>6</sup>

<sup>1</sup> MSc in Environmental Health Engineering, Environmental Research Center, Faculty of Health, Isfahan University of Medical Sciences, Isfahan, Iran

<sup>2</sup> PhD Student in Environmental Health Engineering, Environmental Research Center, Faculty of Health, Isfahan University of Medical Sciences, Isfahan, Iran

<sup>3</sup> MSc in Physics, Laboratory Atomic Energy Organization, Isfahan, Iran

<sup>4</sup> BSc Student in Environmental Health Engineering, Faculty of Health, Isfahan University of Medical Sciences, Isfahan, Iran

<sup>5</sup> Professor, Department of Environmental Health Engineering, Environmental Research Center, Faculty of Health, Isfahan University of Medical Sciences, Isfahan, Iran

<sup>6</sup> PhD Student in Environmental Health Engineering, Faculty of Public Health, Shahid Sadoughi University of Medical Sciences, Yazd, Iran

(Received April 10, 2017 ; Accepted October 24, 2017)

### **Abstract**

**Background and purpose:** Air pollution is one of the most important environmental issues and its impact on human health has been proven in the 20th century. Many air pollutants such as CO, NO<sub>2</sub>, SO<sub>2</sub>, O<sub>3</sub>, particulate matter (PM<sub>10</sub>), heavy metals, radon, etc. could have negative health effects. The aim of this study was to determine the concentration of PM<sub>10</sub>, lead, and radon in the air of Spahanshahr, Isfahan, Iran.

**Materials and methods:** This study was conducted in the summer of 2015. Sampling was performed using fiberglass filters by High volume sampler. Analysis of PM<sub>10</sub>, lead, and radon was carried out by weight discrepancy, ICP device, and CR- 39 detector, respectively. Geographic information system v10 and Inverse Distance Weighted (IDW) were used for interpolation and the spatial distribution of mean concentrations of pollutants in the stations. Data analysis was done in SPSS V16.

**Results:** The mean concentrations of PM<sub>10</sub>, lead, and radon were 57.07±33.07 µg/m<sup>3</sup>, 0.41±0.23 µg/m<sup>3</sup>, and 466.78±86.92 (Bq/m<sup>3</sup>), respectively. The concentration of PM<sub>10</sub>, lead, and radon in most sampling stations were higher than the WHO and EPA recommendations. The highest concentration of PM<sub>10</sub>, lead, and radon was observed in the Southeast, West, and West of the study area.

**Conclusion:** This investigation showed that the high concentration of particulate matter in the Southeast of study area was mainly due to the vicinity of the confluence of two main highways in Isfahan and construction activities of the commercial center. But high concentrations of lead and radon in West Region and in stations near the lead mine could be due to the mining activities and the direction of the prevailing winds in summer (West-East).

**Keywords:** concentration, PM<sub>10</sub>, lead, radon, Bama Mine, GIS

J Mazandaran Univ Med Sci 2018; 28(159): 84-96 (Persian).

## تخمین توزیع مکانی غلظت $PM_{10}$ ، سرب و رادون در سپاهان شهر اصفهان با استفاده از سیستم اطلاعات جغرافیایی (GIS)

حسین فرخ زاده<sup>۱</sup>نگار جعفری<sup>۲</sup>مجتبی صادقی<sup>۳</sup>مریم تالش علیپور<sup>۴</sup>محمد مهدی امین<sup>۵</sup>علی عبدالله نژاد<sup>۶</sup>

### چکیده

**سابقه و هدف:** آلودگی هوا یکی از موضوعات مهم زیست محیطی است که اثرات آن بر سلامت انسانها در قرن بیستم به اثبات رسیده است. بسیاری از آلاینده‌های هوا مانند  $CO$ ،  $NO_2$ ،  $SO_2$ ،  $O_3$ ، ذرات معلق، فلزات سنگین، رادون و غیره می‌تواند اثر نامطلوبی بر سلامتی انسانها داشته باشد. لذا این مطالعه با هدف پایش غلظت  $PM_{10}$ ، سرب و رادون در هوای اطراف سپاهان شهر اصفهان انجام گرفت.

**مواد و روش‌ها:** این تحقیق در سه ماهه تابستان ۱۳۹۴ انجام گرفت. نمونه برداری با استفاده از فیلترهای فایبرگلاس توسط دستگاه نمونه‌بردار High volume و آنالیز  $PM_{10}$ ، سرب و رادون به ترتیب از طریق اختلاف وزن، دستگاه ICP و آشکارساز CR-39 صورت گرفت. برای درون‌یابی و توزیع مکانی غلظت برای مقایسه میانگین غلظت آلاینده‌ها در بین ایستگاه‌های مورد مطالعه آلاینده‌ها از روش IDW سیستم اطلاعات جغرافیایی GIS نسخه ۱۰ استفاده گردید. جهت آنالیز داده‌ها نیز از SPSS نسخه ۱۶ استفاده شد.

**یافته‌ها:** میانگین غلظت  $PM_{10}$ ، سرب و رادون به ترتیب  $(\mu g/m^3)$   $57/07 \pm 33/07$ ،  $0/41 \pm 0/23$  و  $466/78 \pm 86/92$  (Bq/m<sup>3</sup>) بود، به طوری که غلظت  $PM_{10}$ ، سرب و رادون در اکثر ایستگاه‌های نمونه برداری بالاتر از استاندارد WHO و EPA بود. غلظت  $PM_{10}$  در جنوب شرقی، سرب و رادون نیز در غرب منطقه مورد مطالعه بیش‌ترین مقدار را داشتند.

**استنتاج:** نتایج این مطالعه نشان داد بالا بودن غلظت ذرات معلق در جنوب شرقی منطقه بیش‌تر به دلیل مجاورت در محل تلاقی دو اتوبان اصلی و خروجی شهر اصفهان و ساخت و ساز در مرکز تجاری سیتی سنتر بوده ولی بالا بودن غلظت سرب و گاز رادون در غرب منطقه و در ایستگاه‌های نزدیک به معدن سرب می‌تواند به دلیل فعالیت‌های معدنی و جهت باد غالب اصفهان در تابستان (غربی- شرقی) باشد.

**واژه‌های کلیدی:** غلظت،  $PM_{10}$ ، سرب، رادون، معدن سرب باما، GIS

### مقدمه

آلودگی هوا همگام با پیشرفت صنایع در کشورهای در حال توسعه یکی از موضوعات مهم زیست محیطی است که اثرات آن بر سلامت انسانها در قرن بیستم به اثبات رسیده است و جزء ده عامل مهم افزایش مرگ و میر

E-mail: a\_abdolahnejad@ssu.ac.ir

**مؤلف مسئول: علی عبدالله نژاد -** یزد: دانشگاه علوم پزشکی شهید صدوقی، دانشکده بهداشت

۱. کارشناس ارشد مهندسی بهداشت محیط، مرکز تحقیقات محیط زیست، دانشکده بهداشت، دانشگاه علوم پزشکی اصفهان، اصفهان، ایران

۲. دانشجوی دکتری مهندسی بهداشت محیط، مرکز تحقیقات محیط زیست، دانشکده بهداشت، دانشگاه علوم پزشکی اصفهان، اصفهان، ایران

۳. کارشناس ارشد فیزیک، آزمایشگاه فیزیک سازمان انرژی اتمی، اصفهان، ایران

۴. دانشجوی کارشناسی مهندسی بهداشت محیط، دانشکده بهداشت، دانشگاه علوم پزشکی اصفهان، اصفهان، ایران

۵. استاد، مهندسی بهداشت محیط، مرکز تحقیقات محیط زیست، دانشکده بهداشت، دانشگاه علوم پزشکی اصفهان، اصفهان، ایران

۶. دانشجوی دکتری مهندسی بهداشت محیط، دانشکده بهداشت، دانشگاه علوم پزشکی شهید صدوقی یزد، یزد، ایران

تاریخ دریافت: ۱۳۹۶/۱/۲۱ تاریخ ارجاع جهت اصلاحات: ۱۳۹۶/۵/۲ تاریخ تصویب: ۱۳۹۶/۸/۲

در جهان شناخته شده است (۳-۱). به طوری که طبق آمار سازمان بهداشت جهانی، در سرتاسر جهان سالانه ۸۰۰۰۰۰ نفر بر اثر بیماری‌های قلبی، تنفسی و سرطان ریه مرتبط با آلودگی هوا می‌میرند که تعداد نزدیک به ۱۵۰۰۰۰ مورد از آن‌ها در جنوب آسیا اتفاق می‌افتد (۴). بسیاری از آلاینده‌های هوا مانند CO، NO<sub>2</sub>، SO<sub>2</sub>، O<sub>3</sub>، ذرات معلق و غیره در هوا وجود دارند که می‌توانند سلامتی انسان‌ها را تهدید کرده و باعث مشکلات تنفسی، سردرد، سرگیجه و حملات قلبی شوند (۵، ۶). در میان این آلاینده‌ها، ذرات معلق (PM) اهمیت ویژه‌ای دارند. که می‌توانند هم منشا طبیعی و هم منشا مصنوعی داشته باشند (۷). گزارشات WHO نشان می‌دهد ذرات کم‌تر از ۱۰ میکرون می‌تواند عامل بیماری‌های تنفسی و قلبی عروقی مانند آسم، برونشیت، حمله‌های قلبی، کاهش عملکرد ریه و مرگ و میر باشد، به طوری که در برخی شهرهای اروپا به ازای افزایش هر ۱۰ میکروگرم در متر مکعب غلظت ذرات کوچک‌تر از ۱۰ میکرون، میزان مرگ و میر ۶ درصد افزایش می‌یابد (۸-۱۰). چون این آلاینده‌ها سطح ویژه بسیار بالایی داشته و می‌توانند مواد آلی گوناگونی مانند هیدروکربن‌های آروماتیک (PAHs)، نیترو هیدروکربن‌های آروماتیک (nitro-PAHs)، فلزات سنگین، آزیست، پاتوژن‌ها و مواد رادیواکتیو را به خود جذب و به عمق ریه نفوذ کرده و وارد جریان خون شده و باعث اثرات نامطلوب از جمله جهش ژنتیکی شوند (۱۴-۱۱). فلزات سنگین کاربردهای متعدد صنعتی، خانگی، کشاورزی، پزشکی و تکنولوژی دارند که این موضوع منجر به توزیع گسترده آن‌ها در محیط زیست و افزایش نگرانی در مورد اثرات بالقوه آن‌ها در محیط زیست و سلامت انسان‌ها می‌گردد. بعضی از فلزات سنگین مانند آرسنیک، کادمیوم، کروم، جیوه و سرب به دلیل سمیت دارای اهمیت بهداشتی عمومی بیش‌تری هستند (۱۵). فلزات سنگین موجود در گرد و غبار شهری ممکن است از منابع ثابت و متحرک در مناطق شهری شامل معادن، صنایع، ترافیک، بازسازی ساختمان‌ها و

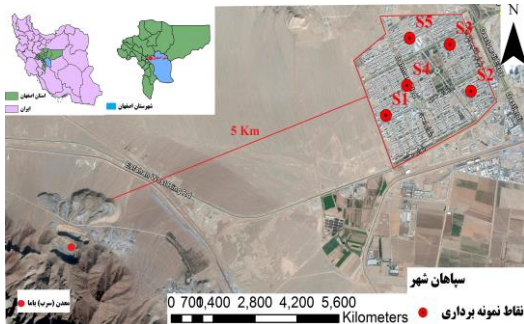
جاده‌سازی، فعالیت‌های شهری، رسوبات اتمسفری و فرآیندهای ژئوشیمیایی طبیعی نشأت بگیرند (۱۶). یکی از عوامل افزایش غلظت فلزات سنگین در هوا می‌تواند فعالیت‌های معدن کاری باشد که مهم‌ترین انتشارات این فعالیت‌ها شامل PM، NO<sub>2</sub>، SO<sub>2</sub> و فلزات سنگین هستند. این آلاینده‌ها، کیفیت هوا را کاهش داده و بر سلامت انسان‌ها اثر می‌گذارند (۱۷). انسان از طرق مختلف در معرض فلزات سنگین می‌باشد، یکی از مهم‌ترین راه‌های ورود فلزات سنگین به بدن انسان، گرد و غباری است که حاوی ترکیبات فلزی با منشاء انسانی و طبیعی می‌باشد (۱۸).

سرب در گروه 2B ترکیبات سرطان‌زای موسسه بین‌المللی تحقیقات سرطان طبقه‌بندی شده است و آثار سمی آن بستگی به ویژگی‌های متابولیکی افراد و رژیم غذایی دارد. این آثار را در بدن، در چهار موضع دستگاه گوارش، دستگاه عصبی مرکزی، اعصاب محیطی و سیستم خون ساز دیده می‌شود (۱۹).

رادون گازی بی‌بو و بیرنگ است که به واسطه فروپاشی اورانیوم موجود در زمین ایجاد می‌شود. گاز رادون با انتشار پرتو آلفا در هوا می‌تواند باعث ایجاد سرطان ریه شود (۲۰). طبق گزارش کمیته علمی اثر پرتوهای اتمی سازمان ملل در سال ۲۰۰۰ میلادی، مقدار متوسط پرتوگیری (دوز مؤثر) سالانه انسان از تمام منابع پرتوزای طبیعی، حدود ۲/۴ میلی‌سیورت در سال برآورد شده است، که حدود ۵۲ درصد آن ناشی از استنشاق گاز رادون است (۲۱). استنشاق این گاز با طولانی‌تر شدن مدت تنفس، صدمات جدی به ریه وارد نموده و باعث ایجاد بیماری‌های آمفیژم و فیبروزیس و در نهایت بروز سرطان ریه می‌شود (۲۲). رادون بعد از سیگار به عنوان دومین عامل سرطان ریه در کل دنیا شناخته شده است (۲۳).

در مطالعه Massey و همکارانش در سال ۲۰۱۳ در هند، بررسی غلظت فلز سرب در PM<sub>2.5</sub> نشان داد که وجود این فلز سرطان‌زا می‌تواند منجر به خطرات

سپاهان شهر اصفهان با مساحتی بیش از ۴۰۰ هکتار یکی از شهرک‌های پرجمعیت شهر اصفهان است که در جنوب شهر اصفهان و در کنار اتوبان شهید دستجردی قرار گرفته است. سپاهان شهر از سمت شمال با کوه صفه و از سمت غرب در فاصله ۵ کیلومتری معدن سرب و روی باما قرار دارد (تصویر شماره ۱). هدف این مطالعه با توجه به فعالیت استخراج سرب و روی در معدن باما و جهت باد غالب و احتمال پراکندگی ذرات معلق و فلز سرب، تعیین غلظت ذرات معلق ( $PM_{10}$ )، سرب و رادون در سپاهان شهر بود.



تصویر شماره ۱: موقعیت ایستگاه‌های نمونه‌برداری و منطقه مورد مطالعه

## مواد و روش‌ها

### محدوده زمانی و نوع مطالعه

این مطالعه از نوع توصیفی-مقطعی بوده که در این مطالعه تعداد ۵ ایستگاه نمونه‌برداری که عمدتاً با توجه به امنیت دستگاه نمونه بردار و با توجه به جهت باد غالب از غرب به شرق، مدارس سطح سپاهان شهر برای نمونه‌برداری  $PM_{10}$ ، سرب و رادون انتخاب شدند. ایستگاه‌های ۱، ۲، ۳، ۴ و ۵ به ترتیب به فاصله ۶/۸، ۵/۴، ۶/۵، ۵/۸ و ۶/۲ کیلومتری از معدن قرار دارند. با توجه به رهنمود سازمان حفاظت محیط زیست آمریکا و امکانات در دسترس و محدودیت نمونه‌برداری، جمعاً تعداد ۲۵ نمونه در سه ماهه تابستان ۱۳۹۴ به فاصله ۲۵ روز یکبار از ۵ ایستگاه مورد مطالعه جمع‌آوری گردید.

بهداشتی جدی شود و لذا پایش اثرات سمی و کنترل آن لازم است (۲۴).

در مطالعه دیگری Zheng و همکاران در سال ۲۰۱۶ غلظت فلزات سنگین سرب و کادمیوم را در  $PM_{2.5}$  بررسی کرده و نتیجه گرفتند که مقادیر این فلزات بالاتر از استاندارد بوده است (۲۵).

در مطالعه García-Ordiales در سال ۲۰۱۶ و بررسی رسوبات موجود در مسیر یک معدن نشان داد که فعالیت‌های معدن کاری سبب افزایش آلودگی به فلزات سنگین از جمله سرب می‌شود (۲۶).

در مطالعه Chen و همکارانش در سال ۲۰۱۵ در چین آلودگی ذرات  $PM_{2.5}$  با فلز سنگین سرب مورد بررسی قرار گرفت که نشان داد میزان سرب موجود در حد استانداردهای کیفیت هوای بیرونی چین بود (۲۷).

در مطالعه دیگری در سال ۲۰۱۵ غلظت فلزات سنگین کادمیوم، کروم، مس، آهن، منگنز، نیکل، سرب، تیتانیوم، وانادیوم روی ذرات  $PM_{10}$  بر روی نمونه‌های هوای محیطی بررسی شد و مشخص شد که شرایط هواشناسی در غلظت  $PM_{10}$  و فلزات سنگین اثرات زیادی دارد. به طوری که در سرعت‌های زیاد باد و بارندگی، غلظت‌های کم  $PM_{10}$  مشاهده می‌شود، در حالی که در سرعت‌های کم باد و شرایط پایدار اتمسفری، غلظت‌های بالای  $PM_{10}$  (البته کم‌تر از استاندارد  $1/5 \mu g/m^3$ ) دیده می‌شود (۲۸).

در مطالعه انجام شده در سال ۲۰۱۵ در نزدیکی صنعت ذوب آهن و استیل، ذرات  $PM_{10}$  و  $PM_{2.5}$  از نظر میزان فلزات سنگین بررسی شدند و غلظت‌های بالای منگنز، نیکل، آرسنیک، کادمیوم و سرب نشان داد که فعالیت‌های صنعتی منشا این فلزات می‌باشد (۲۹).

در سال ۲۰۱۴ مطالعه‌ای در جنوب لبنان جهت بررسی سطح رادون در محیط بیرون و درون منازل انجام گرفت که غلظت رادون در محیط بیرون بیش‌تر از محیط داخل گزارش گردید (۳۰).

## نمونه برداری و آنالیز نمونه ها

SSNTDs آشکار ساز CR-۳۹ در سازمان انرژی اتمی اصفهان سنجیده شد. برای تهیه نمودارها از برنامه Excel و از نسخه ۱۶ نرم افزار آماری SPSS برای نرمال بودن داده ها آزمون کولموگروف اسمیرنوف و برای مقایسه میانگین غلظت آلاینده ها با رهنمود سازمان بهداشت جهانی و سازمان حفاظت محیط زیست از آزمون t تک نمونه ای (one sample t-test) و برای مقایسه میانگین غلظت آلاینده ها در بین ایستگاه های مورد مطالعه از آزمون آماری غیر پارامتریک کروسکالوالیس (kruskal-wallis test) استفاده شد. از آزمون آماری همبستگی اسپیرمن برای تعیین همبستگی بین آلاینده ها مورد مطالعه در ایستگاه های مختلف استفاده گردید و برای درون یابی و توزیع مکانی غلظت برای مقایسه میانگین غلظت آلاینده ها در بین ایستگاه های مورد مطالعه آلاینده ها از روش IDW سیستم اطلاعات جغرافیای GIS نسخه ۱۰ استفاده گردید.

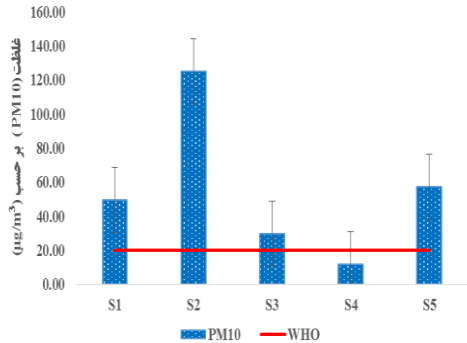
## یافته ها

جدول شماره ۱ حداقل، حداکثر و میانگین غلظت PM<sub>10</sub> را در ایستگاه های نمونه برداری نشان می دهد که با توجه به این جدول، بیشترین غلظت PM<sub>10</sub> به ترتیب مربوط به ایستگاه های شماره ۲ و ۵ و کمترین مقدار مربوط به ایستگاه شماره ۴ بوده است. جدول شماره ۲ حداقل، حداکثر و میانگین غلظت سرب را در ایستگاه های نمونه برداری نشان می دهد. با توجه به آن، بیشترین غلظت سرب به ترتیب مربوط به ایستگاه های ۱ و ۴ و کمترین غلظت مربوط به ایستگاه ۲ بود. جدول شماره ۳ نیز حداقل، حداکثر و میانگین غلظت گاز رادون را در ایستگاه های نمونه برداری نشان می دهد که بیشترین و کمترین غلظت گاز رادون به ترتیب در ایستگاه های ۱ و ۲ ثبت شده است.

جدول شماره ۴ میانگین پارامترهای هواشناسی (دما، رطوبت، فشار و سرعت باد) را در ایستگاه های نمونه برداری نشان می دهد.

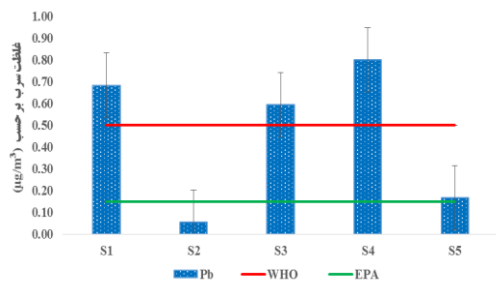
در این مطالعه برای نمونه برداری غلظت PM<sub>10</sub> از پمپ نمونه بردار محیطی High volume مدل (PQ200) ساخت کشور آمریکا) با دبی ۱۶/۷ لیتر در دقیقه به مدت ۲۴ ساعت در ارتفاع ۱۰ متر بالاتر از سطح زمین استفاده شد. فیلترهای فایبرگلاس ۴۷ میلی متری مورد استفاده برای نمونه برداری قبل از نمونه برداری به مدت ۲۴ ساعت در فور با دمای ۱۰۳ درجه سانتی گراد و سپس در دیسیکاتور قرار گرفت. پس از سرد شدن وزن اولیه فیلتر ثبت شده و برای نمونه برداری در داخل پمپ High volume قرار گرفت. فیلترها بعد از گذشت ۲۴ ساعت از نمونه برداری مجدداً در داخل فور با دمای ۱۰۳ درجه سانتی گراد قرار گرفته و سپس وزن آن اندازه گیری شده و از اختلاف وزن اولیه و ثانویه فیلترها، غلظت PM<sub>10</sub> بر حسب  $\mu\text{g}/\text{m}^3$  محاسبه گردید (۳۲،۳۱). جهت تعیین غلظت سرب با روش هضم اسیدی، نصف فیلتر به قطعات ریز خرد و در داخل بشر تفلونی ریخته شد و سپس ۳ میلی لیتر اسید نیتریک، ۱ میلی لیتر اسید پرکلرات و ۰/۱ میلی لیتر اسید هیدروفلوئوریک به آن اضافه و به مدت ۴ ساعت در دمای ۱۷۰ درجه سانتی گراد در داخل فور قرار گرفت. پس از سرد شدن، محلول بر روی هیتز در دمای ۹۵ درجه سانتی گراد خشک و ۱ میلی لیتر اسید کلریدریک به آن اضافه و سپس به وسیله آب مقطر دو بار تقطیر به حجم ۱۰ میلی لیتر رسانده شد و سپس محلول از فیلترهای واتمن عبور داده شد و در داخل ظروف پلاستیکی تا زمان قرائت فلز سرب در دمای ۴ درجه سانتی گراد در یخچال نگهداری گردید (۳۴،۳۳). به منظور کالیبراسیون دستگاه با استفاده از محلول استاندارد ICP، از محلول ۱۰۰۰ میلی گرم در لیتر سرب، غلظت های بین ۰/۱ تا ۵۰۰ میکروگرم در میلی لیتر ساخته شد و سپس غلظت سرب در نمونه ها با استفاده از دستگاه ICP-OES مدل Varian ساخت کشور آمریکا تعیین مقدار شد. غلظت رادون با استفاده از دکتورهای رد پای هسته ی حالت جامد از نوع

PM<sub>10</sub> با استاندارد WHO اختلاف معنی داری وجود داشت ( $p < 0/05$ ).



نمودار شماره ۱: مقایسه غلظت PM<sub>10</sub> با رهنمود WHO در ایستگاه‌های نمونه برداری

نمودار شماره ۲ مقایسه غلظت سرب با رهنمود WHO و استاندارد EPA در ایستگاه‌های نمونه برداری را نشان می‌دهد که با توجه به تصویر فوق، میانگین غلظت سرب در اکثر ایستگاه‌ها نمونه برداری بالاتر از رهنمود WHO و EPA بوده است.



نمودار شماره ۲: مقایسه میانگین غلظت سرب با رهنمود WHO و استاندارد EPA در ایستگاه‌های نمونه برداری

نتایج آماری آزمون t تک نمونه‌ای نشان داد که بین غلظت سرب با استاندارد WHO به جز ایستگاه شماره ۱ در سایر ایستگاه‌های اختلاف معنی داری وجود ندارد ( $p > 0/05$ )، اما مقایسه بین غلظت سرب با استاندارد EPA نشان داد به جز ایستگاه شماره ۵ در سایر ایستگاه‌ها اختلاف معنی دار است ( $p < 0/05$ ).

جدول شماره ۱: حداقل، حداکثر و میانگین غلظت PM<sub>10</sub> (µg/m<sup>3</sup>) در ایستگاه‌های نمونه برداری

شماره ایستگاه نمونه برداری	حداقل	حداکثر	میانگین	انحراف معیار
شماره ۱	۲۹/۴۶	۶۴/۵۵	۴۹/۴۱	۱۴/۱۶
شماره ۲	۳۴/۷۲	۲۸۹/۳۵	۱۲۵	۸۷/۲۷
شماره ۳	۱۷/۵۶	۴۱/۲	۲۹/۶۵	۸/۱۴
شماره ۴	۱۱/۷۵	۴۰/۷۴	۲۳/۳۳	۱۰/۹۸
شماره ۵	۲۳/۴۱	۷۶/۵۱	۵۷/۹۸	۱۸/۳۸
میانگین کل	۲۳/۳۸	۱۰۲/۴۷	۵۷/۰۷	۲۷/۷۸

جدول شماره ۲: حداقل، حداکثر و میانگین غلظت سرب (µg/m<sup>3</sup>) در ایستگاه‌های نمونه برداری

شماره ایستگاه نمونه برداری	حداقل	حداکثر	میانگین	انحراف معیار
شماره ۱	۰/۳۵	۰/۸۹	۰/۶۸	۰/۱۸
شماره ۲	۰/۰۴۷	۰/۰۸	۰/۰۵	۰/۰۱۲
شماره ۳	۰/۳۵	۰/۷	۰/۵۹	۰/۱۲
شماره ۴	۰/۲	۰/۸	۰/۶۱	۰/۲۱
شماره ۵	۰/۱۳	۰/۲	۰/۱۶	۰/۰۲۵
میانگین کل	۰/۲۱	۰/۵۳	۰/۴۱	۰/۱۱

جدول شماره ۳: حداقل، حداکثر و میانگین غلظت گاز رادون (Bq/m<sup>3</sup>) در ایستگاه‌های نمونه برداری

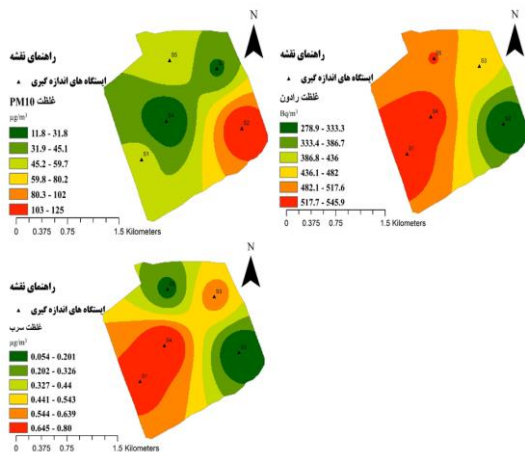
شماره ایستگاه نمونه برداری	حداقل	حداکثر	میانگین	انحراف معیار
شماره ۱	۳۳۱/۲۳	۹۳۸/۲۶	۵۴۵/۸۹	۲۱۳/۸۲
شماره ۲	۱۴۳/۱۳	۴۴۸/۵۳	۲۷۸/۹	۹۷/۵۷
شماره ۳	۳۹۴/۶۵	۵۷۴/۶۸	۴۵۱/۹	۷۲/۶
شماره ۴	۱۳۶/۶۹	۹۲۵/۴۳	۵۳۸/۴۳	۱۳۲/۶۵
شماره ۵	۹۲/۵۳	۹۲۹/۷۸	۵۱۸/۸	۲۶۸/۴۳
میانگین کل	۲۱۹/۶۴	۷۶۳/۳۳	۴۶۶/۷۸	۱۵۷/۰۱

جدول شماره ۴: میانگین پارامترهای هواشناسی (دما، رطوبت، فشار و سرعت باد) در ایستگاه‌های نمونه برداری

ایستگاه نمونه برداری	دما (C°)	رطوبت (%)	فشار (mmHg)	سرعت باد (m/h)
شماره ۱	۳۰/۲	۱۲/۶	۶۲۹	۲/۵
شماره ۲	۳۰/۱	۱۲/۴	۶۳۱	۲/۴
شماره ۳	۲۹/۲	۱۲/۸	۶۳۰	۲/۶
شماره ۴	۲۷/۷	۱۳/۶	۶۳۱	۲/۹
شماره ۵	۲۸/۹	۱۳/۷۵	۶۳۲	۲/۵
میانگین کل	۲۹/۲	۱۳/۰۳	۶۳۰/۶	۲/۵۸

نمودار شماره ۱ مقایسه بین غلظت PM<sub>10</sub> با رهنمود WHO در ایستگاه‌های نمونه برداری را نشان می‌دهد که با توجه به شکل مورد نظر، میانگین غلظت PM<sub>10</sub> در اکثر ایستگاه‌های نمونه برداری بالاتر از رهنمود WHO بود، اما نتایج آماری آزمون t تک نمونه‌ای نشان داد که فقط در بین ایستگاه‌های شماره ۱، ۲ و ۳ از نظر غلظت

همبستگی ۰/۵۱۳- ارتباط معنی داری وجود داشت که نشان می دهد در ایستگاه هایی که غلظت PM<sub>10</sub> بالاست، سرب از غلظت کم تری برخوردار است. همبستگی اسپیرمن هم چنین نشان داد که بین سایر پارامترها ارتباط معنی داری وجود نداشت.

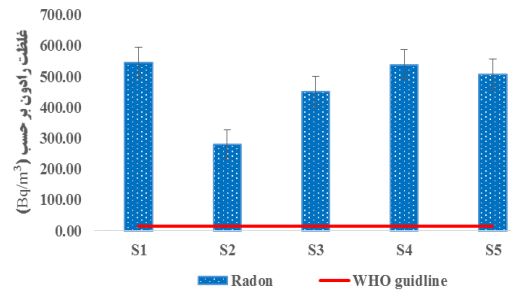


تصویر شماره ۴: پهنه بندی میانگین غلظت PM<sub>10</sub>، سرب و گاز رادون در ایستگاه های نمونه برداری

## بحث

همان گونه که در جدول شماره ۱ نشان داده شده است، بیش ترین غلظت PM<sub>10</sub> در ایستگاه ۲ ثبت گردید. هم چنین پهنه بندی غلظت PM<sub>10</sub> نیز در تصویر شماره ۲ بیانگر آن است غلظت این آلاینده در جنوب شرقی این منطقه بالا بوده که دلیل آن را علاوه بر ساخت و ساز در مرکز تجاری سیتی سنتر به قرارگیری این ایستگاه در محل تلاقی اتوبان های شهید دستجردی و ذوب آهن دانست. اتوبان شهید دستجردی از اصلی ترین مسیرهای ورودی و خروجی شهر اصفهان به سمت شیراز، شهرستان ها و شهرهای اطراف بوده و هم چنین به دلیل قرارگیری مرکز تجاری سیتی سنتر، ایستگاه راه آهن اصفهان و ترمنال صفا در این مسیر، بالا بودن غلظت این آلاینده در این محدوده دور از انتظار نیست. میانگین غلظت PM<sub>10</sub> با توجه به نمودار شماره ۱ در تمامی ایستگاه های اندازه گیری به جز ایستگاه شماره ۴ بالاتر از رهنمود

نمودار شماره ۳ مقایسه غلظت رادون با رهنمود WHO را نشان می دهد. نتایج بیانگر آن است که با توجه به رهنمود WHO که غلظت رادون در محیط های بیرون اماکن بین ۵ تا ۱۵ بکرل در متر مکعب تعیین شده است، غلظت های فوق بسیار بالاتر از رهنمود این سازمان است.



نمودار شماره ۳: میانگین غلظت گاز رادون با در ایستگاه های نمونه برداری

مقایسه غلظت گاز رادون با استاندارد WHO در محیط بیرونی در بین ایستگاه های مختلف با استفاده از آزمون آماری t تک نمونه ای نشان داد که در همه ایستگاه ها اختلاف معنی داری وجود داشت ( $p < 0/05$ ). هم چنین نتایج آزمون کروسکالوالیس نشان داد در بین ایستگاه های نمونه برداری از نظر میانگین غلظت سرب و PM<sub>10</sub> اختلاف آماری معنی داری وجود دارد، اما از نظر میانگین غلظت گاز رادون بین ایستگاه ها اختلاف معنی داری وجود نداشت.

تصویر شماره ۲، پهنه بندی غلظت PM<sub>10</sub>، سرب و رادون با نرم افزار GIS را نشان می دهد که با توجه شکل مورد نظر، الگوی پراکندگی غلظت سرب و رادون در ایستگاه انتهایی و نزدیک به معدن سرب با ما در منطقه مورد مطالعه شباهت زیادی به هم داشت، به طوری که ایستگاه های ۱ و ۴ در هر دو آلاینده بیش ترین غلظت را نشان داد. آزمون آماری همبستگی اسپیرمن بین آلاینده های مورد مطالعه نشان داد که بین سرب و رادون با ( $p < 0/05$ ) و ضریب همبستگی ۰/۴۱۴ ارتباط معنی دار وجود دارد. هم چنین بین سرب و PM<sub>10</sub> با ( $p < 0/01$ ) و ضریب

می‌دهد (تصویر شماره ۲) که بیانگر آن است که با کاهش فاصله طولی ایستگاه‌های نمونه برداری تا معدن، غلظت سرب بالاتر می‌رود. می‌توان دلیل آن را به فاصله کم معدن تا این منطقه و جهت باد غالب شهر اصفهان در فصل تابستان که بیش‌تر به صورت غرب به شرق است، دانست. هم‌چنین نتایج آزمون آماری نیز نشان داد که در بین ایستگاه‌های نمونه‌برداری از نظر میانگین غلظت سرب اختلاف آماری معنی‌داری وجود دارد ( $p < 0/05$ ).

نتایج مطالعه ای که غلظت فلزات سنگین در اطراف معدن جیوه آلمادن اسپانیا را مورد بررسی قرار داد حاکی از آن بود که غلظت فلزات سنگین آرسنیک، کبالت، جیوه و سرب به دلیل فعالیت این معدن در این مناطق بالا بوده است (۲۶) که نتایج آن با مطالعه حاضر مطابقت دارد. مطالعه Csavina و همکاران نشان داد که فعالیت معدنی و بهره‌برداری از معادن نقش مهمی را در تولید و پخش ذرات معلق و فلزات سنگین به محیط زیست را دارند و می‌توانند با تجمع در خاک، آب و سبزیجات برای سلامتی انسان‌ها خطرناک باشند و آسیب جدی به سیستم عصبی زده و باعث کاهش ضریب هوشی شوند (۳۶). هم‌چنین در مطالعه‌ای که در جنوب هند، جهت بررسی غلظت آلاینده‌های هوا و فلزات سنگین در مناطق اطراف معدن ذغال سنگ انجام گرفت، غلظت  $PM_{10}$ ، آهن، مس، روی و سرب در این مناطق بسیار بالاتر از سایر مناطق گزارش شد و باد غالب جنوب شرقی به شمال غربی در افزایش غلظت این آلاینده‌ها بیش‌ترین تاثیر را داشته است (۱۷) که نتایج مطالعه فوق با مطالعه حاضر مطابقت دارد. در مطالعه دیگری، غلظت  $PM_{2.5}$  و فلزات سنگین در اطراف مراکز غیرمجاز بازیافت زباله‌های الکترونیک (EWaste) در چین بررسی شد که نشان داد غلظت  $PM_{2.5}$ ، سرب و کروم بالاتر از مناطق شاهد بود، به طوری که با توجه به ارزیابی اثر خطرات بهداشتی، خطر بالقوه ابتلا به سرطان برای بزرگسالان و کودکان در این منطقه از محدوده قابل قبول توصیه شده توسط سازمان حفاظت محیط

WHO ( $40 \mu g/m^3$ ) می‌باشد. به طوری که غلظت این آلاینده در ایستگاه ۲ با مقدار ۱۲۵ میکروگرم بر مترمکعب،  $3/12$  برابر استاندارد WHO بوده است. در مطالعه‌ای، غلظت  $PM_{10}$  و  $PM_{2.5}$  در روستاهای واقع در مناطق نیمه خشک آگرای هند مورد مطالعه قرار گرفت که نشان داد غلظت این آلاینده‌ها در این مناطق بسیار بالاتر از استاندارد WHO است (۲۴). هم‌چنین نتایج مطالعه سبحان اردکانی و همکاران نشان داد که غلظت ذرات معلق در اطراف کارخانه سیمان بسیار بالاتر از استاندارد های ملی و بین المللی بود (۳). نتایج مطالعات فوق با نتایج مطالعه حاضر همخوانی دارد.

نتایج آماری نیز نشان داد که بین مقادیر غلظت  $PM_{10}$  با استاندارد WHO در ایستگاه‌های ۱، ۲ و ۵ اختلاف معنی‌داری وجود دارد ( $p < 0/05$ ). مطالعه‌ای که در هند در سال ۲۰۰۷ انجام شد نشان داد فعالیت‌های انسانی در معدن زغال سنگ باعث افزایش غلظت  $PM_{10}$  در مناطق اطراف این معدن شده است (۳۵). اما در مطالعه حاضر ایستگاه‌های نزدیک به معدن غلظت  $PM_{10}$  کم‌تری را نسبت به ایستگاه‌های نزدیک به اتوبان، راه آهن و مجتمع تجاری سیتی سنتر دارند که می‌توان دلیل آن را عامل حمل نقل جاده‌ای و ساخت و ساز بیش‌تر در نزدیک ایستگاه‌هایی که غلظت بالای  $PM_{10}$  دارند، دانست.

جدول شماره ۲ نشان داد که بالاترین میانگین غلظت سرب به ترتیب در ایستگاه‌های ۱، ۳ و ۴ بوده است. هم‌چنین نمودار شماره ۲ بیانگر آن است که غلظت سرب در ایستگاه‌های ۱، ۳ و ۴ بالاتر از استاندارد EPA ( $0/15 \mu g/m^3$ ) و WHO ( $0/5 \mu g/m^3$ ) بود، به طوری که غلظت سرب در ایستگاه ۱ و ۴ به ترتیب  $4/5$  و ۴ برابر استاندارد EPA و  $1/36$  و  $1/2$  برابر استاندارد WHO می‌باشد. از نظر نتایج آماری نیز به جز ایستگاه ۵، بین غلظت سرب در سایر ایستگاه‌ها نمونه‌برداری و استاندارد EPA ارتباط معنی‌داری وجود داشت ( $p < 0/05$ ).

غلظت سرب در غرب سپاهان شهر که منتهی به معدن سرب می‌باشند بالاترین پراکندگی غلظت را نشان

زیست ایالات متحده بسیار بالاتر بوده است (۲۵).

مطالعه مشابه دیگری در مکزیک جهت بررسی فلزات سنگین و ذرات معلق انجام گرفت که نشان داد بالا بودن غلظت فلزات کادمیوم، سرب و مس در هوا به دلیل وجود شهرک صنعتی در نزدیکی محل نمونه برداری می باشد (۲۸).

در مطالعه ای غلظت فلزات سنگین را در مناطق مسکونی و تجاری که در مجاورت معدن ذغال سنگ استان جارخند هند قرار داشتند مورد بررسی قرار دادند که نتایج این مطالعه نشان داد غلظت آهن، کلسیم و آلومینیوم بسیار بالاتر از سایر فلزات مانند کروم، سرب، نیکل و روی بوده و غلظت این آلاینده ها در مناطق مسکونی بیش تر از مناطق تجاری بوده است (۳۷).

نتایج آماری همبستگی اسپیرمن نشان داد بین غلظت سرب و PM10 در بین ایستگاه های نمونه برداری با  $p < 0/01$  و ضریب همبستگی  $-0/513$  - ارتباط معنی دار اما معکوسی وجود داشت که نشان می دهد در ایستگاه هایی که غلظت PM10 بالاست، سرب از غلظت کم تری برخوردار است. نتایج مطالعه Szabó و همکاران نشان داد بین غلظت PM10 و سرب ارتباط مستقیم و معنی داری وجود دارد (۳۸). دلیل عدم همخوانی مطالعه فوق با مطالعه حاضر را می توان به عاملی به جز فعالیت معدن کاری مانند ساخت و ساز و انتشارات ناشی از خودروها در مجاورت این ایستگاه ها دانست. هم چنین دلیل پایین بودن غلظت سرب در ایستگاه های نزدیک اتوبان را به حذف سرب از بنزین خودروها نسبت داد (۳۹).

جدول شماره ۳ نشان می دهد بالاترین غلظت گاز رادون مربوط به ایستگاه های ۱ و ۴ بود. هم چنین مقایسه میانگین غلظت گاز رادون در ایستگاه های اندازه گیری در نمودار شماره ۳ نشان می دهد غلظت این گاز در ایستگاه شماره ۱ با مقدار  $545/89$  بکرل در مترمکعب بوده است. با توجه به مقدار رهنمود پیشنهادی WHO برای گاز رادون ( $5-15 \text{ Bq/m}^3$ ) در محیط بیرونی،

غلظت این گاز در تمامی ایستگاه بسیار بیش تر از رهنمود WHO بوده و از نظر نتایج آماری نیز بین غلظت گاز رادون با رهنمود WHO اختلاف معنی داری وجود داشت ( $p < 0/05$ ). با توجه به گزارش WHO، ۱۴-۳ درصد از شیوع سرطان ریه در هر کشور مربوط به گاز رادون می باشد. به طوری که به ازای افزایش هر ۱۰۰ بکرل در مترمکعب غلظت گاز رادون در تماس طولانی مدت، شیوع سرطان ریه ۱۶ درصد افزایش می یابد و این خطر برای افراد سیگاری ۲۵ برابر بیش تر از افراد غیر سیگاری است (۴۰).

نتایج آماری بین غلظت گاز رادون و سرب در ایستگاه های نمونه برداری همبستگی معنی داری را نشان داد ( $p < 0/05$ ).

با توجه به گزارشات WHO، غلظت گاز رادون در داخل مناطق مسکونی بیش تر از بیرون این مناطق است. در حالی که در این مطالعه غلظت این گاز در ایستگاه های اندازه گیری به ویژه در ایستگاه های ۱ و ۴ بسیار بیش تر از سطح پیشنهادی WHO است. دلیل اصلی افزایش این گاز در این ایستگاه ها را می توان به نزدیکی منطقه مورد مطالعه و ایستگاه های نمونه برداری به مجتمع معدنی سرب و روی بام (در فاصله ۵ کیلومتری این منطقه) دانست، زیرا براساس گزارش WHO، رادون یک گاز رادیواکتیو طبیعی است و از تجزیه طبیعی اورانیوم ایجاد می شود، به طوری که در بسیاری از سنگ ها و خاک ها یافت می شود (۴۰). مطالعات نشان دادند که بین سرطان ریه و معادن اورانیوم و سرب ارتباط مستقیمی وجود دارد و میزان گاز رادون در معادن زغال سنگ و سرب به مراتب بیش تر از معادن اورانیوم است (۴۱). لذا با توجه به غلظت بالای گاز رادون در محیط بیرونی، گاز رادون می تواند از طریق سیستم های تهویه، شکاف دیوارها، درب و پنجره ها وارد داخل منازل شده و مخاطرات بهداشتی برای شهروندان ایجاد کند. هم چنین الگوی پراکندگی غلظت گاز رادون نیز در تصویر شماره ۲ نشان می دهد که غلظت گاز رادون

مختلفی مانند سیستم تهویه، سنگ بستر زیر ساختمان، مصالح و نمای ساختمان، ترک های نامرئی در دیوارها و کف زمین و منابع آبی به داخل ساختمان وارد شده و در طولانی مدت اثرات مخربی بر سلامتی ساکنین داشته باشد (۲۰). نتایج این مطالعه نشان داد غلظت  $PM_{10}$ ، سرب و رادون در اکثر ایستگاه های نمونه برداری بالاتر از استاندارد WHO و EPA بود. غلظت  $PM_{10}$  در جنوب شرقی منطقه مورد مطالعه به دلیل نزدیکی به اتوبان شهید دستجردی و ساخت و ساز مرکز تجاری سیتی سنتز بیشترین مقدار بوده است. هم چنین الگوی پراکندگی غلظت رادون و سرب در منطقه مورد مطالعه مشابهت زیادی به هم داشته و در غرب سپاهان شهر در ایستگاه های منتهی به معدن سرب دارای بالاترین غلظت رادون و سرب بودند. با توجه به غلظت بالای  $PM_{10}$ ، سرب و رادون در این منطقه و خطرات بهداشتی ناشی از آن ها بر سلامتی ساکنین این منطقه پیشنهاد می شود مطالعات بیش تری جهت پایش مداوم این آلاینده ها و ارتباط آن ها با سلامتی ساکنین سپاهان شهر انجام گردد.

### سیاسگزاری

این مقاله حاصل طرح پژوهشی به شماره ۲۹۲۱۱۰ بوده و تمامی هزینه های این پژوهش از طریق معاونت پژوهشی دانشگاه علوم پزشکی اصفهان تأمین گردید. لذا نویسندگان بر خود لازم می دانند تا از همکاری های معاونت پژوهشی دانشگاه علوم پزشکی اصفهان، اداره آموزش و پرورش شهر اصفهان و سازمان انرژی اتمی تشکر و قدردانی نمایند.

### References

1. Fattore E, Paiano V, Borgini A, Tittarelli A, Bertoldi M, Crosignani P, et al. Human health risk in relation to air quality in two municipalities in an industrialized area of Northern Italy. *Environ Res* 2011; 111(8): 1321-1327.
2. Jafari N, Abdolahnejad A, Ebrahimi A, Bina B, Mortezaie S. Geographic information system based noise study in crowded areas of Isfahan city in 2010-2011. *Int J Environ Health Eng* 2015; 4(1): 24.

در غرب سپاهان شهر و در ایستگاه هایی که در فاصله کم تری نسبت به معدن سرب قرار دارند، بیش تر از سایر مناطق بوده و با توجه به نتایج مطالعات مشابه بین معادن سرب و اورانیوم و افزایش غلظت رادون ارتباط مستقیمی وجود دارد که با نتایج مطالعه حاضر همخوانی دارد.

مطالعه ای در سال ۲۰۱۴ در لبنان جهت بررسی غلظت گاز رادون در داخل و خارج مناطق مسکونی انجام شد که نشان داد غلظت گاز رادون در خارج از مناطق مسکونی بیش تر از داخل مناطق مسکونی است که دلیل این امر را به نزدیک بودن آشکارساز به زمین نسبت دادند (۳۰).

مطالعه ای که در ایالت های آیووا و مینه سوتا امریکا انجام گرفت، غلظت گاز رادون در محیط بیرون را بالاتر از استاندارد ملی امریکا گزارش کردند (۴۲). نتایج مطالعات فوق با مطالعه حاضر همخوانی دارد.

هم چنین مطالعه دیگری در برزیل انجام شده که حداکثر غلظت گاز رادون در محیط های بیرون را ۵۰ بکرل در مترمکعب گزارش کردند (۴۳). با مقایسه رادون در محیط بیرون در سایر مطالعات با مطالعه حاضر می توان نتیجه گرفت که غلظت این گاز در این مطالعه بسیار بالاتر از مقادیر سایر مطالعات است که می توان آن را به معدن سرب و تابش طبیعی رادون، نوع خاک منطقه و نمای سنگی و آجری ساختمان ها نسبت داد. به طوری که گاز رادون-۲۲۲ یکی از محصولات فروپاشی اورانیوم است و به طور طبیعی در لایه های زمین تولید می شود. این غلظت از گاز رادون می تواند از منابع

3. Sobhanardakani S, Saedi M. Assessment of Particulate Matter, Free Silica and Toxic Gases Emissions from Khouzestan Cement Company. *J Mazandaran Univ Med Sci* 2015; 25(125): 21-31 (Persian).
4. Zallaghi E, Goudarzi G, Geravandi S, Mohammadi MJ. Epidemiological indexes attributed to particulates with less than 10 micrometers in the air of Ahvaz City during 2010 to 2013. *Health Scope* 2014; 3(4): e22276.
5. Kumar A, Goyal P. Forecasting of daily air quality index in Delhi. *Sci Total Environ* 2011; 409(24): 5517-5523.
6. Mokhtari M, Miri M, Mohammadi A, Khorsandi H, Hajizadeh Y, Abdollahnejad A. Assessment of Air Quality Index and Health Impact of PM10, PM2. 5 and SO2 in Yazd, Iran. *J Mazandaran Univ Med Sci* 2015; 25(131): 14-23 (Persian).
7. de Kok TM, Driee HA, Hogervorst JG, Briedé JJ. Toxicological assessment of ambient and traffic-related particulate matter: a review of recent studies. *Mutat Res* 2006; 613(2): 103-122.
8. Miri M, Aval HE, Ehrampoush MH, Mohammadi A, Toolabi A, Nikonahad A, et al. Human health impact assessment of exposure to particulate matter: an AirQ software modeling. *Environ Sci Pollut Res Int* 2017; 24(19): 16513-16519.
9. Mokhtari M, Jafari N, Hajizadeh Y, Mohammadi A, Miri M, Abdollahnejad A. Estimation of health effects of PM2.5 exposure using Air Q model in Isfahan during 2013. *J Health Dev* 2017; 6(1): 74-84 (Persian).
10. Nikoonahad A, Naserifar R, Alipour V, Poursafar A, Miri M, Ghafari HR, et al. Assessment of hospitalization and mortality from exposure to PM10 using AirQ modeling in Ilam, Iran. *Environ Sci Pollut Res Int* 2017; 24(27):21791-21796.
11. Hajizadeh Y, Mokhtari M, Faraji M, Mohammadi A, Nemati S, Ghanbari R, et al. Trends of BTEX in the central urban area of Iran: A preliminary study of photochemical ozone pollution and health risk assessment. *Atmos Pollut Res* 2017; InPress.
12. Mokhtari M, Hajizadeh Y, Mohammadi A, Miri M, Abdollahnejad A, Niknazar H. Ambient Variations of Benzene and Toluene in Yazd, Iran, Using Geographic Information System. *J Mazandaran Univ Med Sci* 2016; 26(138): 131-139 (Persian).
13. Mokhtari M, Jafari N, Ebrahimi A, Mohammadi A, Abdollahnejad A, Hajizadeh Y, et al. Assessment of airborne asbestos fibers concentration in Yazd city in summer 2015. *JEHSD* 2016; 1(2): 87-93.
14. Oh SM, Kim HR, Park YJ, Lee SY, Chung KH. Organic extracts of urban air pollution particulate matter (PM2. 5)-induced genotoxicity and oxidative stress in human lung bronchial epithelial cells (BEAS-2B cells). *Mutat Res* 2011; 723(2): 142-151.
15. Tchounwou PB, Yedjou CG, Patlolla AK, Sutton DJ. Heavy metal toxicity and the environment, In: *Molecular, clinical and environmental toxicology*. Luch A. Springer; Basel 2012.
16. Soltani N, Keshavarzi B, Moore F, Tavakol T, Lahijanzadeh AR, Jaafarzadeh N, et al. Ecological and human health hazards of heavy metals and polycyclic aromatic hydrocarbons (PAHs) in road dust of Isfahan metropolis, Iran. *Sci Total Environ* 2015; 505: 712-723.
17. Pandey B, Agrawal M, Singh S. Assessment of air pollution around coal mining area: emphasizing on spatial distributions, seasonal

- variations and heavy metals, using cluster and principal component analysis. *Atmos Pollut Res* 2014; 5(1): 79-86.
18. Ragheb PS, Ardakani SS. Analysis of Co, Cr and Mn Concentrations in Atmospheric Dry Deposition in Hamadan City. *Sci J Hamdan Univ Med Sci* 2016; 23(2): 149-156 (Persian).
  19. Sobhanardakani S, Talebiani S, Maanijou M. Evaluation of As, Zn, Pb and Cu concentrations in groundwater resources of Toyserkan Plain and preparing the zoning map using GIS. *J Mazandaran Univ Med Sci* 2014; 24(114): 120-130 (Persian).
  20. Yousefi Z, Naddafi K, Tahamtan M, Ali R, Zazouli MA, Koushki Z. Indoor Radon Concentration in Gorgan 212 Dwellings Using CR-39 Detector. *J Mazandaran Univ Med Sci* 2014; 24(113): 2-10 (Persian).
  21. Samadi MT, GolzarKhojasteh B, Rostampour N, Hamedan I. Indoor Natural Radiation Level in Hamadan Province, 2012. *J Mazandaran Univ Med Sci* 2013; 23(99): 54-60 (Persian).
  22. Tirmarche M, Harrison J, Laurier D, Blanchardon E, Paquet F, Marsh J. Risk of lung cancer from radon exposure: contribution of recently published studies of uranium miners. *Ann ICRP* 2012; 41(3): 368-377.
  23. Barros-Dios J, Ruano-Ravina A, Gastelu-Iturri J, Figueiras A. Factors underlying residential radon concentration: Results from Galicia, Spain. *Environ Res* 2007; 103(2): 185-190.
  24. Massey DD, Kulshrestha A, Taneja A. Particulate matter concentrations and their related metal toxicity in rural residential environment of semi-arid region of India. *Atmospheric Environ* 2013; 67: 278-286.
  25. Zheng X, Xu X, Yekeen TA, Zhang Y, Chen A, Kim SS, et al. Ambient air heavy metals in PM<sub>2.5</sub> and potential human health risk assessment in an informal electronic-waste recycling site of China. *Aerosol Air Qual Res* 2016; 16(2): 388-397.
  26. García-Ordiales E, Esbrí JM, Covelli S, López-Berdonces MA, Higuera PL, Loredó J. Heavy metal contamination in sediments of an artificial reservoir impacted by long-term mining activity in the Almadén mercury district (Spain). *Environ Sci Pollut Res* 2016; 23(7): 6024-6038.
  27. Chen P, Bi X, Zhang J, Wu J, Feng Y. Assessment of heavy metal pollution characteristics and human health risk of exposure to ambient PM<sub>2.5</sub> in Tianjin, China. *Particuology* 2015; 20: 104-109.
  28. Flores-Rangel R, Rodríguez-Espinosa P, de Oca-Valero JM, Mugica-Álvarez V, Ortiz-Romero-Vargas M, Navarrete-López M, et al. Temporal variation of PM<sub>10</sub> and metal concentrations in Tampico, Mexico. *Air Qual Atmos Health* 2015; 8(4): 367-378.
  29. Owoade KO, Hopke PK, Olise FS, Ogundele LT, Fawole OG, Olaniyi BH, et al. Chemical compositions and source identification of particulate matter (PM<sub>2.5</sub> and PM<sub>2.5-10</sub>) from a scrap iron and steel smelting industry along the Ife-Ibadan highway, Nigeria. *Atmos Pollut Res* 2015; 6(1): 107-119.
  30. Kobeissi MA, El Samad O, Zahraman K, Rachidi I. Assessment of Indoor and Outdoor Radon Levels in South Lebanon. *Int J Disaster Risk Sci* 2014; 5(3): 214-226.
  31. Leili M, Naddafi K, Nabizadeh R, Yunesian M, Mesdaghinia A. The study of TSP and PM<sub>10</sub> concentration and their heavy metal content in central area of Tehran, Iran. *Air Qual Atmos Health* 2008; 1(3): 159-166.
  32. López J, Callén M, Murillo R, Garcia T, Navarro M, De la Cruz M, et al. Levels of selected metals in ambient air PM<sub>10</sub> in an

- urban site of Zaragoza (Spain). *Environ Res* 2005; 99(1): 58-67.
33. Herner JD, Green PG, Kleeman MJ. Measuring the trace elemental composition of size-resolved airborne particles. *Environ Sci Technol* 2006; 40(6): 1925-1933.
34. Hosseini G, Teymouri P, Giahi O, Maleki A. Health Risk Assessment of Heavy Metals in Atmospheric PM10 in Kurdistan University of Medical Sciences Campus. *J Mazandaran Univ Med Sci* 2016; 25(132): 136-146 (Persian).
35. Ghose MK, Majee S. Characteristics of hazardous airborne dust around an Indian surface coal mining area. *Environ Monit Assess* 2007; 130(1-3): 17-25.
36. Csavina J, Field J, Taylor MP, Gao S, Landázuri A, Betterton EA, et al. A review on the importance of metals and metalloids in atmospheric dust and aerosol from mining operations. *Sci Total Environ*. 2012; 433: 58-73.
37. Rout T, Mastro RE, Padhy P, Ram L, George J, Joshi G. Heavy metals in dusts from commercial and residential areas of Jharia coal mining town. *Environ Earth Sci* 2015; 73(1): 347-359.
38. Szabó J, Nagy AS, Erdős J. Ambient concentrations of PM10, PM10-bound polycyclic aromatic hydrocarbons and heavy metals in an urban site of Győr, Hungary. *Air Qual Atmos Health* 2015; 8(2): 229-241.
39. Sarraf R, Mohammadi S, Valipour S, Rozbahani F. Study of lead concentration in the air of Tehran municipality district one in 2008. *J Environ Sci Eng Technol* 2009; 11(3): 93-106. (Persian).
40. WHO. WHO Handbook on Indoor Radon. 2009. Available online: [whqlibdoc who int/publications/2009/9789241547673\\_eng.pdf](http://whqlibdoc.who.int/publications/2009/9789241547673_eng.pdf). Accessed February 18, 2013.
41. Barkhordari Firouzabadi A, BoozarJomehri F, Ghahari M, Parach A, Zare Sakhoydi M, Lotfi M. Measuring Radon Concentration in the Lead and Zinc Mines in Yazd. *TB*. 2016; 14(6): 94-102 (Persian).
42. Kávási N, Németh C, Kovács T, Tokonami S, Jobbágy V, Várhegyi A, et al. Radon and thoron parallel measurements in Hungary. *Radiat Prot Dosimetry* 2006; 123(2): 250-253.
43. Steck DJ, Field RW, Lynch CF. Exposure to atmospheric radon. *Environ Health Perspect* 1999; 107(2): 123-127.
44. Magalhaes M, Amaral E, Sachett I, Rochedo E. Radon-222 in Brazil: an outline of indoor and outdoor measurements. *J Environ Radioact* 2003; 67(2): 131-143.